

Muscle to Brain Partitioning as Measure of Transporter-Mediated Efflux at the Rat Blood–Brain Barrier and Its Implementation into Compound Optimization in Drug Discovery Supplementary Materials

Yunhai Cui, Ralf Lotz, Hermann Rapp, Klaus Klinder, Anneke Himstedt and Achim Sauer

Table S1. Raw data Figure 1 “Correlation of $f_{u,\text{brain}}$ and $f_{u,\text{muscle}}$.” $f_{u,\text{brain}}$ = unbound brain concentrations, $f_{u,\text{muscle}}$ = unbound muscle concentrations, MW = molecular weight, clogP = calculated logP, a TPSA = total polar surface area, H-AC = number of H acceptors, FSP3 = aliphatic indicator, pKa values are calculated with the software MoKa (Molecular Discovery, Hertfordshire, UK).

Cpd	Project	$f_{u,\text{brain}}$	$f_{u,\text{muscle}}$	MW	TPSA	clogP	H-AC	FSP3	cpK _a acidic	cpK _a basic
163	19	0.0084	0.0130	402	69	2.5	4	0.25	12.5	2.2
166	19	0.0062	0.0095	469	75	4.6	4	0.28	11.8	6.0
221	23	0.1000	0.1060	367	93	2.2	5	0.40	10.9	5.0
225	4	0.0099	0.0124	377	68	2.5	2	0.57		6.8
228	4	0.0010	0.0010	413	68	2.8	2	0.57		6.8
229	4	0.4140	0.1860	338	92	0.7	3	0.53		6.5
231	4	0.2352	0.1781	387	86	1.1	4	0.62		7.2
232	4	0.0040	0.0070	420	77	3.4	3	0.44		7.0
238	4	0.0655	0.0662	374	92	1.0	3	0.53		6.5
344	1	0.0208	0.0193	541	119	3.8	8	0.31	9.1	2.2
346	23	0.0273	0.0974	563	101	4.6	6	0.56		5.0
369	23	0.0430	0.0920	507	101	4.3	6	0.54		5.1
386	23	0.0233	0.1227	551	101	4.5	6	0.54		5.0
560	26	0.1592	0.2111	353	93	2.2	6	0.33	7.8	2.9
570	14	0.0954	0.1643	357	95	1.1	6	0.19	10.2	2.9
575	26	0.1526	0.1545	356	80	2.7	5	0.28	9.9	4.1
601	9	0.0282	0.0442	324	46	2.8	4	0.45	11.7	8.2
607	30	0.0009	0.0010	480	71	4.8	5	0.28		6.0
616	6	0.0130	0.0430	379	80	4.2	2	0.24	10.4	8.1
618	27	0.0470	0.0607	449	72	3.3	4	0.25		
619	23	0.0159	0.0220	443	89	3.6	5	0.42		4.2
633	23	0.1160	0.1190	339	91	2.6	4	0.43		4.9
634	27	0.0522	0.0829	444	91	4.4	6	0.29		
635	27	0.0434	0.0470	519	69	5.2	6	0.39	12.8	5.6
642	23	0.0422	0.0830	305	78	1.9	4	0.24	12.0	5.1

Table S2. Raw data Figure 2 “Correlation of $K_{p(br/mu)}$ with (a) $K_{p,uu,br(hom)}$ and (b) $K_{p,uu,CSF}$.”

Cpd	Project	$K_{p,br/mu}$	$K_{p,uu,br,hom}$	$K_{p,uu,br,CSF}$	MW	TPSA	clogP	H-AC	FSP3
130	27	1.585	1.013	0.860	420	86	3.7	6	0.32
131	27	0.802	1.105	1.948	420	86	3.7	6	0.32
132	27	1.601	1.370	1.261	455	73	4.3	5	0.30
133	27	0.911	0.598	0.479	455	73	4.1	5	0.30
161	19	1.842	0.584	0.998	403	80	2.9	4	0.21
163	19	0.857	0.359	0.424	402	69	2.5	4	0.25
164	19	0.073	0.058	0.222	499	84	2.8	5	0.31
166	19	0.206	0.226	0.603	469	75	4.6	4	0.28
168	19	0.962	0.303	1.210	440	67	4.0	4	0.26
169	19	0.157	0.065	0.234	454	78	4.1	4	0.29
183	28	0.293	0.145	0.351	464	89	2.7	5	0.41
188	19	0.633	0.328	0.427	417	72	2.3	4	0.25
198	28	0.377	0.224	0.336	461	102	1.2	6	0.45
201	28	0.307	0.204	0.431	475	102	1.7	6	0.48
204	19	0.431	0.256	0.282	454	67	3.9	4	0.29
206	27	0.523	0.108	0.223	459	106	3.1	6	0.30
212	19	0.095	0.071	1.663	485	84	4.0	5	0.28
225	4	0.047	0.025	0.078	377	68	2.5	2	0.57
231	4	0.046	0.026	0.090	387	86	1.1	4	0.62
238	4	0.043	0.046	0.239	374	92	1.0	3	0.53
245	4	0.531	0.152	0.294	392	72	3.1	2	0.14
275	23	0.264	0.059	0.126	589	95	3.6	6	0.59
276	23	3.819	0.734	0.384	433	75	3.5	5	0.52
284	23	2.184	0.593	2.186	420	72	4.2	4	0.44
346	23	0.495	0.302	0.408	563	101	4.6	6	0.56
368	23	0.280	0.117	0.385	484	101	3.2	6	0.46
369	23	0.700	0.181	0.381	507	101	4.3	6	0.54
386	23	3.077	0.996	0.728	551	101	4.5	6	0.54
461	38	2.026	1.136	1.025	307	40	4.6	3	0.37
481	38	2.225	1.051	1.000	335	49	4.6	4	0.40
487	38	0.369	0.157	0.355	349	49	4.2	3	0.35
489	38	1.565	0.723	0.708	308	61	2.9	3	0.47
499	27	1.275	0.185	0.471	438	86	3.5	6	0.32
500	27	0.654	0.169	0.255	434	81	3.0	5	0.33
501	27	0.731	0.903	1.575	452	81	3.2	5	0.33
502	27	0.925	0.648	1.067	406	106	3.2	7	0.29
503	27	1.250	1.319	1.194	407	79	4.0	5	0.27
505	27	0.767	1.238	1.208	404	97	4.1	6	0.32
506	27	0.545	1.523	1.550	429	97	4.3	5	0.25
508	38	0.733	0.226	0.475	336	62	3.9	5	0.42
525	26	1.835	0.394	0.526	297	90	1.4	5	0.47
540	26	0.917	0.478	0.673	288	50	1.6	3	0.33
555	13	0.458	0.272	2.448	427	65	4.0	3	0.22
556	19	1.998	0.958	1.716	445	65	3.9	3	0.22
557	19	0.686	0.152	0.306	402	72	3.2	4	0.21
558	19	0.145	0.076	0.188	390	80	1.8	4	0.21
559	19	1.665	1.247	0.603	380	52	5.0	3	0.22
560	26	0.467	0.294	0.538	353	93	2.2	6	0.33
570	14	0.661	0.201	0.226	357	95	1.1	6	0.19
575	26	0.226	0.113	0.203	356	80	2.7	5	0.28
601	9	0.056	0.028	0.174	324	46	2.8	4	0.45
618	27	0.328	0.336	0.488	449	72	3.3	4	0.25
619	23	1.496	0.297	0.603	443	89	3.6	5	0.42
623	39	1.504	0.671	0.627	333	49	3.2	2	0.43
628	39	1.154	1.409	9.018	345	25	4.9	1	0.45
634	27	0.758	1.192	0.928	444	91	4.4	6	0.29
635	27	0.286	0.804	2.511	519	69	5.2	6	0.39
642	23	1.440	0.958	2.035	305	78	1.9	4	0.24
655	13	5.994	5.515	3.225	194	48	1.5	1	0.30
658	38	2.347	0.990	0.670	329	79	3.2	4	0.44
659	38	1.378	2.146	1.071	348	73	3.9	5	0.35
672	26	0.317	0.851	0.573	327	64	1.8	4	0.40
677	9	0.180	0.062	1.035	314	122	1.6	5	0.07

Table S2. continued

Cpd	Project	$K_{p,br/mu}$	$K_{p,uu,br,hom}$	$K_{p,uu,br,CSF}$	MW	TPSA	clogP	H-AC	FSP3
682	9	0.032	0.018	0.053	456	73	1.0	5	0.36

Table S3. Raw data Figure 3 “Correlation of $K_{p,br/mu}$ values obtained following intravenous and oral dosing for a set of 29 compounds.”

Cpd	Project	i.v.	p.o.
		$K_{p,br/mu}$	$K_{p,br/mu}$
5	29	0.065	0.088
15	21	0.199	0.231
17	21	0.015	0.023
18	21	0.505	0.647
20	21	0.122	0.160
21	21	0.136	0.132
22	29	0.188	0.156
23	21	0.185	0.176
24	23	0.265	0.739
32	23	0.127	0.176
34	23	0.442	1.465
36	23	1.022	3.501
43	23	0.185	0.652
44	23	0.439	0.334
45	23	0.159	0.042
48	23	0.245	0.437
108	28	1.652	1.051
222	16	0.115	0.086
247	34	0.032	0.039
248	42	0.314	0.281
300	28	0.816	0.631
305	28	1.352	1.498
335	34	0.037	0.042
371	28	0.668	1.477
449	27	0.728	0.637
466	28	0.717	1.603
606	13	0.302	0.351
607	20	0.326	0.801
610	39	0.031	0.094

Table S4. Raw data Figure 4 “In vitro – in vivo correlation of MDR1 P-gp efflux and $K_{p,br/mu}$.”
Subgroup 1 depicted in red, Subgroup 2 in blue

Cpd	Project	Route	MDCK _{Pgp_10_Efflux}	$K_{p,br/mu}$	Cpd	Project	Route	MDCK _{Pgp_10_Efflux}	$K_{p,br/mu}$
1	23	p.o.	0.568	1.045	47	23	i.v.	4.907	0.055
2	34	p.o.	1.441	0.107	48	23	i.v.	0.881	0.245
3	34	i.v.	0.565	0.949	48	23	p.o.	0.881	0.437
4	29	p.o.	2.219	0.290	49	21	p.o.	26.530	0.184
5	29	i.v.	18.810	0.065	50	33	p.o.	27.950	0.055
5	29	p.o.	18.810	0.088	51	21	p.o.	23.320	0.114
6	21	i.v.	23.110	0.086	52	21	p.o.	1.505	0.160
7	21	p.o.	19.430	0.084	53	21	p.o.	6.463	0.378
8	21	p.o.	31.920	0.061	54	28	p.o.	1.315	0.467
9	21	p.o.	7.193	0.680	55	21	p.o.	10.500	0.315
10	21	p.o.	4.064	0.474	56	33	i.v.	46.510	0.064
11	21	p.o.	10.820	0.265	57	33	i.v.	26.860	0.078
12	21	p.o.	4.089	1.051	58	33	p.o.	25.110	0.085
13	21	p.o.	15.120	0.170	59	21	p.o.	6.386	0.463
14	21	p.o.	13.250	0.137	60	33	p.o.	36.000	0.048
15	21	i.v.	4.610	0.199	61	21	p.o.	5.266	0.254
15	21	p.o.	4.610	0.231	62	21	p.o.	3.242	0.417
16	21	i.v.	14.040	0.029	63	21	p.o.	25.440	0.062
17	21	i.v.	32.790	0.015	64	21	p.o.	4.113	0.228
17	21	p.o.	32.790	0.023	65	21	p.o.	15.630	0.075
18	21	i.v.	1.214	0.505	66	21	p.o.	6.857	0.056
18	21	p.o.	1.214	0.647	67	28	p.o.	0.600	1.633
19	21	i.v.	31.620	0.035	68	28	p.o.	0.586	2.356
20	21	i.v.	12.530	0.122	69	28	p.o.	0.718	2.996
20	21	p.o.	12.530	0.160	70	28	p.o.	2.161	0.658
21	21	i.v.	4.345	0.136	71	28	p.o.	1.841	0.308
21	21	p.o.	4.345	0.132	72	28	i.v.	1.039	0.589
22	29	i.v.	3.512	0.188	73	28	p.o.	2.548	0.430
22	29	p.o.	3.512	0.156	74	28	p.o.	1.248	0.591
23	21	i.v.	6.528	0.185	75	28	p.o.	1.638	0.999
23	21	p.o.	6.528	0.176	76	28	p.o.	0.682	2.718
24	23	i.v.	0.904	0.265	77	28	p.o.	1.922	0.664
24	23	p.o.	0.904	0.739	78	33	p.o.	38.455	0.050
25	23	i.v.	2.251	0.577	79	21	p.o.	2.666	1.152
26	23	i.v.	0.528	1.870	80	21	p.o.	11.450	0.281
27	21	p.o.	13.410	0.255	81	21	p.o.	3.647	0.234
28	21	p.o.	3.349	0.537	82	21	p.o.	21.900	0.062
29	21	p.o.	13.460	0.222	83	28	p.o.	0.523	1.970
30	21	p.o.	37.310	0.192	84	28	p.o.	0.576	2.702
31	23	i.v.	0.527	1.370	85	28	p.o.	1.514	0.950
32	23	i.v.	4.556	0.127	86	28	p.o.	1.660	0.592
32	23	p.o.	4.556	0.176	87	28	p.o.	0.689	1.616
33	34	i.v.	0.614	1.840	88	28	p.o.	1.400	0.446
34	23	i.v.	0.492	0.442	89	28	p.o.	0.834	1.967
34	23	p.o.	0.492	1.465	90	33	p.o.	4.679	0.027
35	23	i.v.	11.210	0.114	91	28	p.o.	0.617	0.120
36	23	i.v.	0.548	1.022	92	28	p.o.	1.852	0.496
36	23	p.o.	0.548	3.501	93	28	i.v.	1.269	0.254
37	23	i.v.	9.386	0.364	94	28	p.o.	0.863	0.271
38	23	i.v.	9.471	0.076	95	28	p.o.	0.582	1.964
39	23	i.v.	0.656	1.142	96	28	p.o.	1.518	0.430
40	23	i.v.	0.547	0.787	97	28	p.o.	0.681	0.978
41	23	i.v.	0.764	0.607	98	28	p.o.	0.988	0.488
42	23	i.v.	1.736	0.497	99	28	p.o.	0.511	0.956
43	23	i.v.	0.697	0.185	100	28	p.o.	1.178	0.298
43	23	p.o.	0.697	0.652	101	28	p.o.	1.168	0.388
44	23	i.v.	0.826	0.439	102	28	p.o.	0.519	2.305
44	23	p.o.	0.826	0.334	103	28	p.o.	0.475	2.537
45	23	i.v.	14.090	0.159	104	28	i.v.	0.745	0.187
45	23	p.o.	14.090	0.042	105	28	p.o.	0.664	0.862
46	23	i.v.	0.423	0.354	106	28	p.o.	0.541	1.194

Table S4. continued

Cpd	Project	Route	MDCK _{Fgp_10_Efflux}	K _{p,br/mu}	Cpd	Project	Route	MDCK _{Fgp_10_Efflux}	K _{p,br/mu}
107	28	p.o.	0.587	1.741	166	19	p.o.	3.930	0.206
108	28	i.v.	0.819	1.652	167	19	p.o.	1.036	0.476
108	28	p.o.	0.819	1.051	168	19	p.o.	0.345	0.962
109	28	p.o.	0.692	1.909	169	19	p.o.	0.960	0.157
110	28	i.v.	4.410	0.151	170	19	p.o.	0.470	1.185
111	28	i.v.	3.669	0.196	171	19	p.o.	2.190	0.062
112	28	p.o.	8.267	0.315	172	27	p.o.	1.009	0.686
113	28	p.o.	3.614	0.223	173	27	p.o.	1.334	0.476
114	28	p.o.	4.884	0.257	174	27	p.o.	2.542	0.384
115	28	i.v.	1.504	0.412	175	27	p.o.	1.275	1.371
116	28	i.v.	2.981	0.302	176	27	p.o.	1.178	0.648
117	28	p.o.	3.658	0.257	177	27	p.o.	1.024	1.161
118	28	i.v.	15.020	0.182	178	27	p.o.	0.619	1.247
119	28	i.v.	8.356	0.086	179	27	p.o.	3.824	0.294
119	28	i.v.	8.356	0.120	180	27	p.o.	0.943	1.124
120	28	i.v.	2.076	0.593	181	27	p.o.	1.515	0.594
121	21	p.o.	2.179	0.345	182	27	p.o.	2.611	0.844
122	21	p.o.	3.774	0.181	183	28	p.o.	0.949	0.293
123	28	p.o.	8.361	0.183	184	28	p.o.	1.427	0.397
124	28	i.v.	6.865	0.089	185	28	p.o.	2.996	0.207
125	28	p.o.	7.544	0.152	186	28	p.o.	2.132	0.739
126	28	p.o.	6.337	0.142	187	27	p.o.	0.707	0.826
127	28	p.o.	0.664	0.100	189	19	p.o.	0.990	0.632
128	28	i.v.	2.032	0.446	190	19	p.o.	1.640	0.291
129	33	p.o.	1.026	2.268	191	28	p.o.	1.074	0.722
130	27	p.o.	0.769	1.585	192	28	p.o.	1.976	0.616
131	27	i.v.	0.843	0.802	193	19	p.o.	1.297	0.294
132	27	p.o.	0.631	1.601	194	19	p.o.	0.847	0.679
133	27	p.o.	0.641	0.911	195	19	p.o.	1.910	0.154
134	27	p.o.	1.511	0.495	196	19	p.o.	0.494	1.094
135	27	p.o.	0.808	1.401	197	19	p.o.	3.308	0.225
136	27	p.o.	0.667	0.919	198	28	p.o.	2.895	0.377
137	28	i.v.	0.702	1.252	199	28	p.o.	1.359	0.297
138	28	p.o.	0.639	1.226	200	28	p.o.	1.609	0.344
139	28	p.o.	0.650	1.325	201	28	p.o.	2.552	0.307
140	28	p.o.	0.637	1.449	202	19	p.o.	2.965	0.241
141	28	p.o.	0.605	0.381	203	28	p.o.	3.491	0.147
142	28	p.o.	0.947	0.633	204	19	p.o.	0.830	0.431
143	28	i.v.	0.543	1.260	205	27	p.o.	2.995	0.367
144	28	p.o.	0.613	1.341	206	27	i.v.	1.128	0.523
145	28	p.o.	0.640	1.183	207	27	i.v.	0.772	0.650
146	28	p.o.	0.799	0.600	208	27	p.o.	3.555	0.290
147	28	p.o.	0.628	0.964	209	27	p.o.	1.276	0.599
148	33	p.o.	4.785	0.121	210	19	p.o.	1.317	0.123
149	33	p.o.	1.228	1.328	211	19	p.o.	1.570	0.314
150	33	p.o.	4.159	0.118	212	19	p.o.	1.270	0.095
151	33	p.o.	0.964	1.544	213	19	p.o.	0.990	0.746
152	28	p.o.	8.150	0.322	214	10	p.o.	3.010	0.562
153	27	p.o.	1.529	0.640	215	10	p.o.	8.026	0.172
154	27	i.v.	5.138	0.225	216	10	p.o.	17.340	0.148
155	27	i.v.	1.978	0.458	217	10	p.o.	16.400	0.162
156	27	i.v.	0.831	0.422	218	37	p.o.	3.929	0.046
157	27	p.o.	1.399	0.194	219	28	p.o.	17.370	0.044
158	27	p.o.	2.858	0.370	220	23	p.o.	0.667	0.373
159	28	p.o.	1.297	0.605	221	23	p.o.	1.061	0.719
160	19	p.o.	0.810	0.874	222	16	i.v.	26.350	0.115
161	19	p.o.	0.530	1.842	222	16	p.o.	26.350	0.086
162	19	p.o.	1.033	0.217	223	23	p.o.	0.532	1.061
163	19	p.o.	0.700	0.857	224	20	p.o.	2.266	0.129
164	19	p.o.	5.050	0.073	225	4	p.o.	61.980	0.047
165	19	p.o.	1.120	0.339	226	25	p.o.	28.460	0.048

Table S4. continued

Cpd	Project	Route	MDCK _{Fgp_10_Efflux}	K _{p,br/mu}	Cpd	Project	Route	MDCK _{Fgp_10_Efflux}	K _{p,br/mu}
227	25	p.o.	10.560	0.056	286	20	p.o.	1.166	0.322
228	4	p.o.	34.340	0.074	287	20	p.o.	1.145	0.418
229	4	p.o.	50.530	0.049	288	20	p.o.	2.050	0.227
230	20	i.v.	0.661	0.464	289	20	p.o.	0.583	0.387
231	4	p.o.	35.150	0.046	290	20	p.o.	0.650	0.273
232	4	p.o.	64.350	0.044	291	20	p.o.	0.620	0.989
233	26	p.o.	1.470	0.902	292	20	p.o.	0.940	0.125
234	4	p.o.	19.820	0.107	293	20	p.o.	1.370	0.095
235	20	i.v.	8.140	0.186	294	20	p.o.	2.036	0.298
236	33	i.p.l	0.408	2.742	295	15	p.o.	0.882	0.691
237	18	p.o.	0.613	1.750	296	23	p.o.	0.927	1.128
238	4	p.o.	59.790	0.043	297	28	i.v.	24.130	0.053
239	41	p.o.	3.718	0.175	298	28	p.o.	0.506	2.150
240	41	p.o.	0.513	2.648	299	28	p.o.	1.586	0.963
241	12	p.o.	1.396	0.805	300	28	i.v.	1.594	0.816
242	20	p.o.	0.601	0.384	300	28	p.o.	1.594	0.631
243	20	p.o.	0.512	1.273	301	28	p.o.	1.783	0.952
244	20	p.o.	9.442	0.063	302	28	p.o.	2.149	0.543
245	4	p.o.	3.675	0.531	303	28	p.o.	0.562	0.673
246	4	p.o.	4.263	0.575	304	28	i.v.	0.361	3.204
247	34	i.v.	26.770	0.032	305	28	i.v.	0.671	1.352
247	34	p.o.	26.770	0.039	305	28	p.o.	0.671	1.498
248	42	i.v.	3.144	0.314	306	28	p.o.	0.742	0.488
248	42	p.o.	3.144	0.281	307	20	p.o.	0.510	0.198
249	4	p.o.	20.190	0.059	308	20	p.o.	0.640	0.206
250	4	p.o.	23.930	0.038	309	20	p.o.	0.436	0.247
251	42	p.o.	2.109	0.331	310	20	p.o.	0.474	0.089
252	42	p.o.	1.645	0.247	311	15	p.o.	1.389	0.379
253	20	p.o.	0.490	1.128	312	4	p.o.	2.303	1.158
254	33	p.o.	26.430	0.027	313	4	p.o.	13.690	0.090
255	11	i.v.	5.942	0.391	314	20	p.o.	2.247	0.324
256	42	p.o.	0.648	2.294	315	20	p.o.	3.421	0.161
257	20	p.o.	13.680	0.197	316	20	p.o.	0.678	0.268
258	20	p.o.	1.209	0.258	317	23	p.o.	3.239	0.639
259	20	p.o.	0.720	0.527	318	15	p.o.	1.023	0.859
260	20	p.o.	1.019	0.519	319	15	p.o.	3.504	0.134
261	33	p.o.	14.310	0.145	320	15	p.o.	3.750	0.098
262	33	p.o.	1.084	0.165	321	15	p.o.	7.618	0.108
263	20	p.o.	4.039	0.088	322	15	p.o.	11.670	0.073
264	20	p.o.	0.530	0.339	323	15	p.o.	2.619	0.408
265	20	p.o.	0.473	0.100	324	15	p.o.	1.473	0.722
266	20	p.o.	1.190	0.179	325	15	p.o.	5.445	0.164
267	20	p.o.	1.170	0.038	326	15	p.o.	18.260	0.072
268	20	p.o.	1.010	0.256	327	15	p.o.	0.792	1.423
269	20	p.o.	0.720	0.256	328	15	p.o.	0.588	1.573
270	20	p.o.	1.000	0.239	329	15	p.o.	1.138	0.566
271	20	p.o.	0.720	0.210	330	20	p.o.	1.122	0.154
272	20	p.o.	2.370	0.059	331	20	p.o.	0.570	0.151
273	4	p.o.	74.030	0.069	332	23	p.o.	1.787	0.251
274	34	p.o.	9.265	0.053	333	4	p.o.	7.683	0.115
275	23	p.o.	8.193	0.264	334	23	p.o.	0.604	2.917
276	23	p.o.	0.483	3.819	335	34	i.v.	45.520	0.037
277	23	p.o.	3.056	0.320	335	34	p.o.	45.520	0.042
278	10	p.o.	2.525	0.378	336	15	p.o.	0.671	0.232
279	28	i.v.	0.575	0.269	337	15	p.o.	19.610	0.019
280	20	p.o.	0.822	0.362	338	15	p.o.	0.990	0.359
281	20	p.o.	1.222	0.760	339	15	p.o.	8.713	0.100
282	20	p.o.	7.940	0.080	340	15	p.o.	0.665	1.311
283	23	p.o.	0.862	0.753	341	15	p.o.	6.387	0.075
284	23	p.o.	0.638	2.184	342	15	p.o.	6.973	0.073
285	20	p.o.	1.064	0.379	343	23	p.o.	0.577	1.977

Table S4. continued

Cpd	Project	Route	MDCK _{Fgp_10_Efflux}	K _{p,br/mu}	Cpd	Project	Route	MDCK _{Fgp_10_Efflux}	K _{p,br/mu}
344	1	p.o.	68.380	0.096	404	27	i.v.	0.849	0.643
345	25	p.o.	0.594	0.431	405	4	p.o.	47.660	0.062
346	23	p.o.	1.166	0.495	406	15	p.o.	1.301	0.140
347	23	p.o.	3.462	0.997	407	15	p.o.	0.687	0.560
348	27	i.v.	0.664	0.802	408	15	p.o.	3.251	0.090
349	23	p.o.	0.608	0.497	409	15	p.o.	2.280	0.285
350	23	p.o.	3.453	0.393	410	15	p.o.	8.531	0.054
351	25	p.o.	3.312	0.150	411	15	p.o.	1.075	0.192
352	23	p.o.	0.594	2.362	412	15	p.o.	1.892	0.186
353	15	p.o.	2.925	0.181	413	15	p.o.	28.720	0.101
354	15	p.o.	37.860	0.182	414	27	i.v.	2.393	0.472
355	15	p.o.	3.277	0.354	415	27	p.o.	3.017	0.452
356	23	p.o.	0.545	2.646	416	27	p.o.	1.075	0.649
357	38	p.o.	1.699	0.297	417	27	i.v.	0.569	1.050
							intrap eriton		
358	38	p.o.	1.227	0.283	418	27	eal	0.700	1.331
359	38	p.o.	1.936	0.263	419	27	i.v.	1.426	0.723
360	38	p.o.	5.504	0.255	420	27	i.v.	2.310	0.391
361	23	p.o.	1.353	1.240	421	15	p.o.	12.080	0.065
362	23	p.o.	1.140	1.702	422	15	p.o.	4.351	0.170
363	23	p.o.	0.740	1.345	423	15	p.o.	0.639	1.674
364	15	p.o.	7.552	0.112	424	15	p.o.	1.067	0.202
365	15	p.o.	0.929	0.368	425	15	p.o.	0.782	1.234
366	15	p.o.	4.776	0.083	426	15	p.o.	1.080	0.680
367	15	p.o.	5.642	0.046	427	15	p.o.	1.303	0.507
368	23	p.o.	0.696	0.280	428	15	p.o.	6.807	0.045
369	23	p.o.	2.994	0.700	429	15	p.o.	0.895	0.365
370	23	p.o.	2.682	1.160	430	15	p.o.	0.955	0.735
371	28	i.v.	0.581	0.668	431	15	p.o.	0.888	0.377
371	28	p.o.	0.581	1.477	432	15	p.o.	0.920	0.616
372	15	p.o.	10.480	0.077	433	15	p.o.	12.250	0.099
373	15	p.o.	0.750	0.991	434	28	i.v.	0.548	0.187
374	15	p.o.	1.047	0.473	435	23	p.o.	1.198	1.516
375	15	p.o.	0.848	0.499	436	27	i.v.	7.635	0.123
376	23	p.o.	1.119	2.088	437	26	p.o.	4.626	0.120
377	15	p.o.	1.397	0.611	438	26	p.o.	0.620	1.205
378	15	p.o.	3.268	0.172	439	29	p.o.	4.154	0.173
379	38	p.o.	0.630	1.212	440	26	p.o.	1.268	0.212
380	23	p.o.	3.940	1.567	441	26	p.o.	1.100	0.086
381	23	p.o.	3.396	0.477	442	26	p.o.	1.180	0.192
382	38	p.o.	4.090	0.798	443	26	p.o.	3.730	0.207
383	34	i.v.	26.880	0.054	444	39	p.o.	4.610	0.437
384	28	i.v.	0.733	0.437	445	38	p.o.	7.319	0.182
385	39	s.c.	1.265	0.681	446	38	p.o.	14.950	0.062
386	23	p.o.	1.566	3.077	447	29	p.o.	0.613	1.526
387	23	p.o.	1.002	0.957	448	26	p.o.	9.320	0.114
388	23	p.o.	0.759	0.809	449	27	i.v.	0.827	0.728
389	18	p.o.	8.697	0.201	449	27	p.o.	0.827	0.637
390	23	p.o.	2.232	1.205	450	27	p.o.	0.634	0.710
391	38	p.o.	1.610	0.333	451	27	p.o.	2.353	0.573
392	34	i.v.	29.710	0.039	452	27	i.v.	8.017	0.049
393	23	p.o.	0.865	0.750	453	36	p.o.	0.649	0.364
394	15	p.o.	2.660	0.193	454	15	p.o.	9.761	0.107
395	15	p.o.	0.928	0.283	455	15	p.o.	6.089	0.019
396	15	p.o.	0.982	0.236	456	15	p.o.	1.911	0.300
397	15	p.o.	0.626	0.954	457	15	p.o.	1.218	0.429
398	15	p.o.	1.489	0.622	458	27	i.v.	4.835	0.156
399	27	i.v.	6.760	0.233	459	36	p.o.	1.396	0.488
400	38	p.o.	1.373	0.443	460	39	p.o.	0.750	1.328
401	38	p.o.	1.926	0.118	461	38	p.o.	0.549	2.026
402	27	i.v.	1.162	0.234	462	38	p.o.	0.612	2.063
403	27	i.v.	1.388	0.368	463	39	p.o.	0.654	1.113

Table S4. continued

Cpd	Project	Route	MDCK _{Fgp_10_Efflux}	<i>K_{p,br/mu}</i>	Cpd	Project	Route	MDCK _{Fgp_10_Efflux}	<i>K_{p,br/mu}</i>
464	38	p.o.	0.667	1.035	524	26	p.o.	0.648	1.505
465	38	p.o.	0.538	2.119	525	26	p.o.	0.310	1.835
466	28	i.v.	0.709	0.718	526	38	p.o.	0.513	0.985
466	28	p.o.	0.709	1.603	527	38	p.o.	1.739	0.291
467	38	p.o.	0.625	1.486	528	38	p.o.	2.975	0.304
468	15	p.o.	21.870	0.095	529	38	p.o.	3.077	0.522
469	15	p.o.	0.558	1.123	530	27	p.o.	0.793	0.915
470	15	p.o.	0.666	1.186	531	27	p.o.	0.706	1.104
471	15	p.o.	0.737	1.176	532	27	p.o.	0.650	1.512
472	15	p.o.	1.344	0.455	533	27	p.o.	0.679	1.985
473	28	p.o.	0.616	2.158	534	27	i.v.	0.589	1.121
474	38	p.o.	0.739	1.254	535	27	i.v.	0.596	1.369
475	26	p.o.	4.200	0.108	536	38	p.o.	2.177	0.244
476	26	p.o.	4.110	0.087	537	38	p.o.	2.870	0.192
477	26	p.o.	1.496	0.405	538	38	p.o.	0.752	1.071
478	26	p.o.	1.400	0.401	539	26	p.o.	0.570	2.574
479	38	p.o.	0.602	2.959	540	26	p.o.	1.150	0.917
480	38	p.o.	0.624	1.517	541	27	p.o.	3.940	0.140
481	38	p.o.	0.590	2.225	542	27	p.o.	1.703	1.172
482	38	p.o.	0.890	1.220	543	27	i.v.	1.289	1.185
483	38	p.o.	3.084	0.473	544	27	p.o.	2.661	1.504
484	39	p.o.	0.613	1.629	545	38	p.o.	1.032	1.059
485	15	p.o.	11.480	0.050	546	38	p.o.	1.042	0.777
486	38	p.o.	1.847	0.504	547	38	p.o.	0.730	1.243
487	38	p.o.	3.156	0.369	548	38	p.o.	0.543	1.992
488	38	p.o.	0.741	0.330	549	26	p.o.	1.980	0.171
489	38	p.o.	1.401	1.565	550	38	p.o.	1.113	1.777
490	38	p.o.	4.000	0.168	551	27	i.v.	1.899	0.505
491	38	p.o.	3.407	0.376	552	27	p.o.	1.583	0.287
492	38	p.o.	0.706	0.602	553	2	i.v.	5.959	0.135
493	38	p.o.	0.731	1.571	554	22	p.o.	0.560	0.720
494	38	p.o.	0.630	1.455	555	13	p.o.	0.537	0.458
495	15	p.o.	2.862	0.181	556	19	p.o.	0.450	1.998
496	38	p.o.	0.578	1.434	557	19	p.o.	0.880	0.686
497	27	i.v.	0.717	0.294	558	19	p.o.	2.020	0.145
498	27	p.o.	0.983	0.797	559	19	p.o.	0.410	1.665
499	27	p.o.	0.735	1.275	560	26	p.o.	1.550	0.467
500	27	p.o.	1.186	0.654	561	26	p.o.	5.800	0.163
501	27	i.v.	0.746	0.731	562	26	p.o.	6.020	0.144
502	27	p.o.	0.969	0.925	563	26	p.o.	0.930	0.540
503	27	p.o.	0.718	1.250	564	26	p.o.	3.096	0.173
504	27	p.o.	0.831	0.632	565	22	p.o.	4.405	0.279
505	27	p.o.	0.915	0.767	566	22	p.o.	3.238	0.163
506	27	p.o.	1.266	0.545	567	14	p.o.	2.597	0.166
507	38	p.o.	0.596	1.444	568	14	p.o.	0.609	1.639
508	38	p.o.	1.217	0.733	569	14	p.o.	1.924	0.230
509	38	p.o.	0.841	0.930	570	14	p.o.	2.388	0.661
510	15	p.o.	1.830	0.331	571	14	p.o.	0.975	1.285
511	15	p.o.	0.881	0.936	572	14	p.o.	3.029	0.143
512	15	p.o.	0.551	0.327	573	40	p.o.	0.586	0.732
513	15	p.o.	2.513	0.159	574	22	p.o.	0.670	0.358
514	15	p.o.	1.383	0.338	575	26	p.o.	1.690	0.226
515	15	p.o.	1.159	0.328	576	26	p.o.	2.640	0.266
516	27	p.o.	4.400	0.133	577	26	p.o.	1.430	0.251
517	15	p.o.	0.710	0.747	578	22	p.o.	2.110	0.152
518	15	p.o.	4.579	0.125	579	14	p.o.	7.796	0.150
519	15	p.o.	1.432	0.384	580	14	p.o.	4.171	0.094
520	15	p.o.	2.347	0.463	581	14	p.o.	2.434	0.192
521	15	p.o.	1.599	0.319	582	26	p.o.	0.430	1.222
522	26	p.o.	1.480	0.134	583	26	p.o.	0.730	1.384
523	26	p.o.	1.360	0.147	584	14	p.o.	2.751	0.589

Table S4. continued

Cpd	Project	Route	MDCK _{Fgp_10_Efflux}	K _{p,br/mu}	Cpd	Project	Route	MDCK _{Fgp_10_Efflux}	K _{p,br/mu}
585	22	p.o.	0.840	0.441	643	26	p.o.	2.490	0.215
586	40	p.o.	0.860	1.279	644	8	p.o.	0.547	1.578
587	24	p.o.	3.000	0.347	645	17	p.o.	0.722	1.025
588	24	p.o.	0.660	1.281	646	13	p.o.	1.341	0.402
589	24	p.o.	0.620	0.705	647	13	p.o.	6.103	0.201
590	34	p.o.	2.851	0.090	648	13	p.o.	11.380	0.046
591	38	s.c.	1.455	0.378	649	35	p.o.	1.010	0.627
592	22	p.o.	0.990	0.331	650	24	p.o.	3.530	0.120
593	24	p.o.	1.000	0.487	651	36	p.o.	2.957	0.123
594	24	p.o.	1.420	0.282	652	38	p.o.	0.534	3.045
595	24	p.o.	0.800	0.099	652	38	s.c.	0.534	3.622
596	24	p.o.	1.120	0.444	653	15	p.o.	21.270	0.041
597	24	p.o.	0.970	0.422	654	5	p.o.	0.608	0.559
598	24	p.o.	1.510	0.350	655	13	p.o.	0.562	5.994
599	40	p.o.	0.977	1.875	656	38	p.o.	0.572	1.567
600	24	p.o.	1.417	0.341	657	13	i.p.	0.727	2.070
601	9	i.v.	26.081	0.056	658	38	p.o.	0.818	2.347
602	9	p.o.	0.597	1.437	659	38	p.o.	0.486	1.378
603	41	p.o.	0.523	0.780	660	26	i.p.	0.860	1.928
604	42	i.p.l	5.453	0.279	661	13	p.o.	0.456	1.151
605	20	p.o.	0.370	1.288	662	13	p.o.	1.055	0.519
606	13	p.o.	2.320	0.351	663	13	p.o.	0.427	0.581
606	13	i.v.	2.320	0.302	664	15	p.o.	13.560	0.128
607	20	i.v.	0.343	0.328	665	24	p.o.	1.174	1.229
607	20	p.o.	0.340	0.801	666	9	p.o.	2.808	0.110
608	41	p.o.	0.632	0.588	667	28	p.o.	0.551	2.435
609	20	i.v.	0.551	0.285	668	28	p.o.	1.231	1.280
610	39	p.o.	15.710	0.094	669	26	i.p.	0.682	1.409
610	39	i.v.	15.710	0.031	670	28	i.v.	1.529	0.581
611	41	p.o.	0.584	1.262	671	28	p.o.	0.545	1.683
612	29	p.o.	0.466	2.107	672	26	i.p.	2.239	0.317
613	20	i.v.	1.334	1.261	673	28	i.v.	1.435	0.326
614	33	i.p.	23.900	0.085	674	28	p.o.	3.295	0.260
615	41	p.o.	0.825	0.685	675	28	i.v.	2.986	0.600
616	6	p.o.	1.662	0.294	676	31	p.o.	1.241	0.095
617	27	i.v.	0.625	0.398	677	9	i.v.	0.685	0.180
618	27	p.o.	0.685	0.328	678	9	p.o.	1.623	0.508
619	23	p.o.	0.641	1.496	679	9	i.v.	0.838	0.603
620	4	p.o.	4.357	0.239	680	24	i.p.	0.259	5.141
621	13	i.p.	7.213	0.101	681	32	p.o.	5.489	0.063
622	20	p.o.	0.370	1.301	682	9	i.v.	21.945	0.032
623	39	p.o.	0.621	1.504					
624	13	p.o.	0.443	2.071					
625	23	i.v.	0.706	0.433					
626	17	p.o.	0.526	1.508					
627	5	p.o.	0.583	1.572					
628	39	s.c.	0.555	1.154					
629	27	p.o.	0.853	0.538					
630	7	i.p.	0.620	0.583					
631	27	i.v.	1.095	0.399					
632	27	i.p.	0.636	2.308					
633	23	p.o.	0.639	1.528					
634	27	p.o.	0.752	0.758					
635	27	p.o.	0.945	0.286					
636	39	p.o.	3.409	0.430					
637	39	p.o.	0.602	1.681					
638	4	p.o.	24.180	0.056					
639	4	p.o.	17.410	0.031					
640	17	p.o.	5.688	0.166					
641	17	p.o.	0.534	1.687					
642	23	p.o.	1.000	1.440					

Table S5. Raw data Figure 5 “Correlation of $K_{p,br/mu}$ with in vitro efflux measured in MDCK-MDR1 cells for compounds of three research projects (N=48).”

Cpd	Project	$K_{p,br/mu}$	MDCK $R_{gp_10_Efflux}$	MDCK $P_{gp_1_Efflux}$
160	19	0.874	0.810	0.850
161	19	1.842	0.530	0.350
163	19	0.857	0.700	1.120
164	19	0.073	5.050	6.290
165	19	0.339	1.120	1.450
166	19	0.206	3.930	5.330
168	19	0.962	0.345	0.592
169	19	0.157	0.960	2.630
170	19	1.185	0.470	0.480
171	19	0.062	2.190	5.430
189	19	0.632	0.990	1.110
190	19	0.291	1.640	2.680
195	19	0.154	1.910	4.660
204	19	0.431	0.830	1.220
211	19	0.314	1.570	3.800
212	19	0.095	1.270	2.200
213	19	0.746	0.990	1.360
259	20	0.527	0.720	2.500
264	20	0.339	0.530	2.230
266	20	0.179	1.190	3.390
267	20	0.038	1.170	5.380
268	20	0.256	1.010	6.570
269	20	0.256	0.720	5.160
270	20	0.239	1.000	6.760
271	20	0.210	0.720	0.730
272	20	0.059	2.370	4.950
282	20	0.080	7.940	12.080
288	20	0.227	2.050	6.200
290	20	0.273	0.650	3.540
291	20	0.989	0.620	4.280
292	20	0.125	0.940	4.100
293	20	0.095	1.370	5.290
307	20	0.198	0.510	0.580
308	20	0.206	0.640	3.430
330	20	0.154	1.122	8.429
331	20	0.151	0.570	1.260
554	22	0.720	0.560	0.580
556	19	1.998	0.450	0.590
557	19	0.686	0.880	0.880
558	19	0.145	2.020	2.810
559	19	1.665	0.410	0.380
574	22	0.358	0.670	2.280
578	22	0.152	2.110	3.240
585	22	0.441	0.840	1.590
592	22	0.331	0.990	2.170
605	20	1.288	0.370	0.610
607	20	0.801	0.340	0.770
622	20	1.301	0.370	0.550

Table S6. Raw data Figure 6 “Correlation of $K_{p,br/mu}$ with in vitro efflux measured in MDCK-MDR1 and MDCK-BCRP cells for compounds from two research projects (N = 39).”

Cpd	Project	$K_{p,br/mu}$	MDCK _{Pgp_10_Efflux}	MDCK _{BCRP_10_Efflux}	Equation based Efflux
233	26	0.902	1.470	9.080	2.817
438	26	1.205	0.620	0.840	0.597
441	26	0.086	1.100	14.800	3.400
442	26	0.192	1.180	19.830	4.319
443	26	0.207	3.730	26.620	8.003
448	26	0.114	9.320	36.730	15.271
475	26	0.108	4.200	47.580	11.964
476	26	0.087	4.110	53.400	12.841
478	26	0.401	1.400	2.000	1.566
522	26	0.134	1.480	13.910	3.636
523	26	0.147	1.360	6.730	2.317
525	26	1.835	0.310	0.810	0.276
539	26	2.574	0.570	0.420	0.474
540	26	0.917	1.150	0.760	1.111
549	26	0.171	1.980	15.550	4.409
560	26	0.467	1.550	12.730	3.505
561	26	0.163	5.800	23.750	9.588
562	26	0.144	6.020	15.210	8.387
563	26	0.540	0.930	7.220	1.966
575	26	0.226	1.690	2.900	2.008
576	26	0.266	2.640	22.320	6.195
577	26	0.251	1.430	17.060	4.105
582	26	1.222	0.430	0.710	0.379
583	26	1.384	0.730	0.570	0.654
587	24	0.347	3.000	4.270	3.545
588	24	1.281	0.660	0.800	0.625
589	24	0.705	0.620	0.990	0.613
593	24	0.487	1.000	2.000	1.170
594	24	0.282	1.420	2.240	1.627
595	24	0.099	0.800	16.690	3.420
596	24	0.444	1.120	3.740	1.578
597	24	0.422	0.970	4.890	1.624
598	24	0.350	1.510	5.940	2.333
643	26	0.215	2.490	5.010	3.161
650	24	0.120	3.530	1.320	3.579
660	26	1.928	0.860	0.608	0.795
669	26	1.409	0.682	0.696	0.631
672	26	0.317	2.239	0.731	2.194
680	24	5.141	0.259	0.740	0.216

Table S7: Raw data Figure S2 “In vitro – in vivo correlation of MDCK P-gp efflux and mouse $K_{p,br/mu}$.”

Cpd	Project	Route	MDCK $P_{gp_10_Efflux}$	$K_{p,br/mu}$	Cpd	Project	Route	MDCK $P_{gp_10_Efflux}$	$K_{p,br/mu}$
1	23	i.v.	0.568	1.404	26	26	i.p.	2.590	0.263
4	29	p.o.	2.220	0.237	28	28	p.o.	1.430	0.752
22	29	p.o.	3.510	0.253	23	23	i.v.	1.330	1.008
24	23	i.v.	0.903	0.659	23	23	i.v.	15.400	0.112
32	23	p.o.	4.560	0.397	29	29	p.o.	1.910	0.322
42	23	p.o.	1.740	1.324	23	23	i.v.	7.840	1.056
44	23	p.o.	0.826	0.986	23	23	i.v.	2.390	0.088
45	23	p.o.	11.700	0.129	23	23	i.v.	13.500	0.810
54	28	p.o.	1.310	0.294	23	23	i.v.	29.400	0.067
69	28	p.o.	0.717	0.876	23	23	i.v.	0.754	1.307
72	28	p.o.	1.040	0.614	23	23	i.v.	4.960	0.498
74	28	p.o.	1.250	0.720	23	23	i.v.	4.490	0.151
88	28	p.o.	1.400	0.499	23	23	i.v.	6.190	0.538
93	28	p.o.	1.270	0.312	23	23	p.o.	2.590	0.297
119	28	i.v.	8.360	0.359	23	23	i.v.	0.425	2.144
120	28	i.v.	2.080	0.575	23	23	p.o.	2.460	0.376
137	28	p.o.	0.702	2.154	23	23	p.o.	1.100	0.912
183	28	p.o.	0.950	0.490	23	23	p.o.	0.658	1.103
184	28	p.o.	1.430	0.699	23	23	i.v.	7.330	0.214
199	28	p.o.	1.360	0.866	12	12	p.o.	1.050	2.159
200	28	p.o.	1.610	0.644	20	20	i.v.	3.810	0.455
224	20	i.v.	2.260	0.182	12	12	p.o.	1.030	1.558
233	26	i.p.	1.470	0.208	20	20	i.v.	2.950	0.194
241	12	p.o.	1.400	1.067	12	12	p.o.	1.600	2.313
248	42	p.o.	3.140	0.472	12	12	p.o.	1.310	1.168
249	4	p.o.	20.300	0.197	12	12	p.o.	0.910	0.981
256	42	p.o.	0.648	0.818	12	12	p.o.	0.794	1.406
275	23	p.o.	8.200	0.739	12	12	p.o.	0.593	0.988
296	15	p.o.	0.927	1.665	12	12	p.o.	8.340	0.178
301	28	p.o.	1.780	1.052	12	12	p.o.	0.758	1.419
311	15	p.o.	1.390	0.751	23	23	p.o.	1.580	0.896
318	15	p.o.	1.010	1.589	23	23	p.o.	0.787	0.603
328	15	p.o.	0.587	1.938	23	23	p.o.	1.380	0.700
338	15	p.o.	0.991	0.294	23	23	p.o.	6.440	0.327
346	23	p.o.	1.170	0.657	23	23	p.o.	0.506	0.670
367	15	p.o.	5.650	0.047	23	23	p.o.	0.627	1.150
377	15	p.o.	1.390	0.475	23	23	p.o.	2.370	0.646
385	39	i.v.	1.260	0.533	23	23	p.o.	9.740	0.254
395	15	p.o.	0.978	0.315	12	12	i.v.	3.950	0.032
397	15	p.o.	0.627	1.049	51	51	p.o.	0.632	1.017
443	26	i.p.	3.735	0.137	39	39	s.c.	1.350	0.523
461	39	s.c.	0.548	1.371	39	39	i.v.	0.508	2.145
464	39	i.v.	0.668	0.609	39	39	p.o.	1.810	0.356
605	20	p.o.	0.364	0.742	39	39	p.o.	0.499	0.300
616	46	p.o.	1.660	0.303	39	39	p.o.	2.540	0.464
619	23	p.o.	0.640	0.573	39	39	p.o.	4.710	0.038
623	39	p.o.	0.621	0.791	39	39	p.o.	14.000	0.211
624	7	p.o.	0.444	2.347	39	39	i.v.	2.080	0.126
625	27	s.c.	0.708	0.814	39	39	i.v.	0.795	0.896
626	7	p.o.	0.527	1.136	39	39	p.o.	2.620	0.418
627	7	p.o.	0.585	1.578	39	39	p.o.	1.640	0.139
632	27	i.p.	0.638	2.332	51	51	p.o.	0.576	0.707
633	23	p.o.	0.639	0.798	51	51	p.o.	0.622	1.768
640	7	p.o.	5.700	0.145	51	51	p.o.	0.697	0.585
641	7	p.o.	0.534	0.847	51	51	p.o.	0.457	0.754
642	23	p.o.	1.000	0.834	51	51	p.o.	0.604	0.957
643	26	i.p.	3.350	0.588	51	51	p.o.	0.526	0.841
645	7	p.o.	0.721	0.830	26	26	p.o.	4.560	0.130
654	7	p.o.	0.607	0.549	26	26	p.o.	4.220	0.232
669	26	i.p.	0.625	2.612	51	51	p.o.	0.550	0.555
671	28	p.o.	0.545	2.261	39	39	s.c.	0.730	0.877

Table S7: continued

Cpd	Project	Route	MDCK _{pgp_10} Efflux	$K_{p,br/mu}$
843	39	i.v.	1.010	0.208
844	39	i.v.	0.538	0.418
845	39	i.v.	0.841	2.643
846	39	i.v.	0.501	3.467
850	28	p.o.	36.400	0.102
854	26	i.p.	0.612	2.676
855	20	p.o.	14.900	0.168
858	7	p.o.	0.674	0.743
862	7	p.o.	1.500	0.294
863	45	i.v.	0.732	3.750
865	7	p.o.	0.692	1.495
871	26	i.p.	0.772	0.763
874	47	i.v.	0.689	0.757

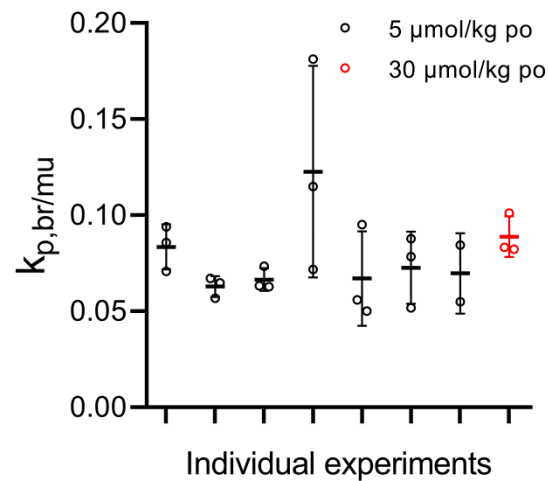


Figure S1. Reproducibility of $K_{p,\text{br}/\mu}$: 5 $\mu\text{mol/kg}$ (open black circles) or 30 $\mu\text{mol/kg}$ (open red circles) of Compound 5 were administered orally in eight independent experiments. $K_{p,\text{br}/\mu}$ was determined 0.5 hours after compound administration. Data are mean \pm SD, n = 3.

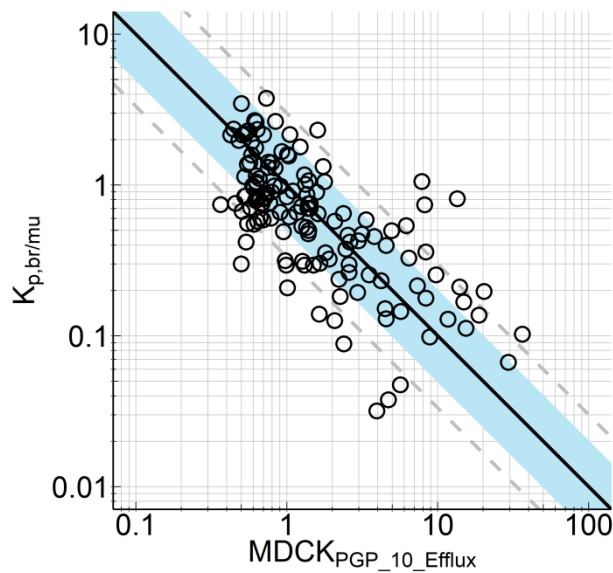


Figure S2. In vitro – in vivo correlation of MDR1 P-gp efflux and mouse $K_{p,\text{br}/\mu}$. Mouse $K_{p,\text{br}/\mu}$ is depicted as function of efflux derived from in vitro transporter experiments at 10 μM compound concentration in MDCK-MDR1 cells ($\text{MDCK}_{\text{Pgp_10_Efflux}}$). Correlation analysis was performed with all data depicted in this plot and is characterized by an average food error of 2.2, a Bias of 0.893 and 65.7 % or 84.3 % of data within a 2-fold or 3-fold error. Solid line represents regression, blue area indicates the 2-fold error range, dashed lines are 3-fold error lines. Symbols represent average values ($n=2-3$ for $K_{p,\text{br}/\mu}$ and $n=2$ for in vitro efflux). Data are listed in Supplement Table S7.

Animal experiments in mice were essentially performed as described for rats and under the same regulatory authorization (see 2.2 Animal Studies). Only those aspects are listed here that deviate from the description for rats in the Materials and Methods section of the manuscript. Male mice of the strains C57BL6, CD1, NMRI and Swiss were used. For tissue sampling the animals were anaesthetized with Ketamin/Xylacin. Blood was collected via heart puncture and animals were exsanguinated via the vena cava or the heart. The amount of muscle taken was lower (0.1 to 0.15 g) compared to the taken from rats and the homogenization of muscle was done with a smaller homogenization device (Precellys® kit, 2 ml, CKM). The rest of the procedure, including the homogenization process of the brain, was as described for the rat.